

## ЭЛЕКТРИЧЕСКИЕ И МАГНИТНЫЕ СВОЙСТВА

УДК 537.226.2

### ДИЭЛЕКТРИЧЕСКАЯ ФУНКЦИЯ СФЕРИЧЕСКОЙ МЕТАЛЛИЧЕСКОЙ НАНОЧАСТИЦЫ

© 2021 г. А. А. Коваль<sup>а</sup>, А. В. Коротун<sup>а</sup>, \*

<sup>а</sup>Национальный университет “Запорожская политехника”, ул. Жуковского, 64, Запорожье, 69063 Украина

\*e-mail: andko@zntu.edu.ua

Поступила в редакцию 28.08.2020 г.

После доработки 11.10.2020 г.

Принята к публикации 17.11.2020 г.

Исследовано взаимодействие электромагнитных волн со сферической металлической наночастицей. В рамках модели сферической потенциальной ямы бесконечной глубины с учетом размерной зависимости энергии Ферми получена формула для диэлектрического тензора и рассчитаны его диагональные компоненты. Результаты расчетов демонстрируют сильную размерную и частотную зависимость действительной и мнимой частей диэлектрической функции. Вычисления проведены для частиц Ag, Cu и Al.

*Ключевые слова:* металлическая наночастица, диэлектрический тензор, размерное квантование, энергия Ферми

**DOI:** 10.31857/S0015323021030104

#### ВВЕДЕНИЕ

Оптические свойства металлических наночастиц достаточно давно изучаются как теоретически, так и экспериментально [1–9]. Это обусловлено широким спектром их применения, в частности, при создании метаматериалов [10], в устройствах сверхбыстрой оптоэлектроники [11] и суперлинзах [12], а также для терапии рака [13].

Разработаны усовершенствованные методы получения и созданы методики исследования оптических свойств ансамблей малых металлических частиц [14, 15]. При этом получение идентичных по своим параметрам частиц все еще остается нерешенной задачей [16]. Однако исследование единичных структур спектроскопическими методами позволяет избежать усреднения и, как следствие, потери физической информации.

Известно, что свойства малых частиц и их ансамблей отличаются от свойств массивных тел. Так, при приближении размера частицы к фермиевской длине волны становится существенным квантование электронного спектра. Новые закономерности также наблюдаются в поглощении света малыми металлическими частицами. Исследования указывают на тот факт, что оптические свойства малых металлических частиц в значительной степени определяются их составом, структурой, размером и формой [1, 2, 5, 17, 18].

Диэлектрическая функция является важной физической величиной для изучения спектра оптического поглощения малых металлических частиц [2, 7, 19]. Расчет диэлектрической функции с

использованием теории линейного отклика представлен в работе [18]. Сравнение различных квантово-механических подходов [18, 20, 21], а также их применение к вычислению диэлектрической функции для систем пониженной размерности различной геометрии дано в [1].

Среди сравнительно недавних работ следует отметить [9], в которой были выполнены численные расчеты диэлектрической функции с использованием различных наборов собственных значений энергий для наночастиц серебра различных размеров и трех видов ограничивающего потенциала. Влияние размерного квантования на диэлектрическую проницаемость наночастиц металлов с использованием модели потенциальной ямы рассматривается в [22].

Целью настоящей работы является вычисление компонент диэлектрического тензора сферической металлической наночастицы. Для этого используется подход [2], адаптированный для ультратонких пленок и нитей в работе [23].

#### ЭНЕРГИЯ ФЕРМИ

Решение уравнения Шредингера для сферически симметричной прямоугольной потенциальной ямы бесконечной глубины

$$U(r) = \begin{cases} \infty, & r > r_0 \\ 0, & r \leq r_0 \end{cases}$$

имеет следующий вид:

$$\Psi_{nlm}(r, \theta, \varphi) = R_{nl}(r) Y_{lm}(\theta, \varphi). \quad (1)$$

Радиальная зависимость волновой функции описывается сферическими функциями Бесселя целого порядка:

$$R_{nl}(r) = C_{nl} j_l(k_{nl}r), \quad (2)$$

$$C_{nl} = \left\{ \int_0^{r_0} j_l^2(k_{nl}r) r^2 dr \right\}^{-1/2}, \quad (3)$$

$k_{nl} = \chi_{nl}/r_0$ , где  $\chi_{nl}$  – положительные нули сферической функции Бесселя  $l$ -го порядка, числа  $n = 1, 2, \dots$  нумеруют корни функции Бесселя порядка  $l$ .

Шаровая функция описывается выражением

$$Y_{lm}(\theta, \varphi) = \sqrt{\frac{2l+1(l-m)!}{4\pi(l+m)!}} P_l^m(\cos\theta) e^{im\varphi}, \quad (4)$$

где  $m = 0, \pm 1, \pm 2, \dots, \pm l$ ,  $P_l^m(\cos\theta)$  – присоединенная функция Лежандра.

Приравнивая число заполненных состояний к числу электронов проводимости  $N$ , получим:

$$N = \int_0^{\epsilon_F} g(\epsilon) d\epsilon = 2 \int_0^{\epsilon_F} \sum_{n,l} \delta(\epsilon - \epsilon_{nl}) d\epsilon, \quad (5)$$

где  $g(\epsilon) = 2 \sum_{n,l} \delta(\epsilon - \epsilon_{nl})$  – энергетическая плотность состояний 0D-системы, а уровни энергии определяются соотношением:

$$\epsilon_{nl} = \frac{\hbar^2}{2m_e} k_{nl}^2. \quad (6)$$

Для вычисления интеграла в (5) воспользуемся разложением  $\delta$ -функции в ряд Фурье по синусам на конечном интервале  $\epsilon \in (0, \epsilon_F)$  [24]:

$$\delta(\epsilon - \epsilon_{nl}) = \frac{2}{\epsilon_F} \sum_{\kappa=1}^{\infty} \sin \frac{\pi \kappa \epsilon}{\epsilon_F} \sin \frac{\pi \kappa \epsilon_{nl}}{\epsilon_F}. \quad (7)$$

Подставляя (7) в (5), учитывая, что

$$N = \bar{n} \Omega, \quad (8)$$

где  $\bar{n}$  – концентрация электронов проводимости,  $\Omega = 4\pi r_0^3/3$  – объем частицы, получаем трансцендентное уравнение для определения энергии Ферми  $\epsilon_F$ :

$$\bar{n} \Omega = \sum_{\kappa=1}^{\infty} \frac{4}{\pi \kappa} (1 - \cos \pi \kappa) \sum_{n,l} \sin \frac{\pi \kappa \epsilon_{nl}}{\epsilon_F}. \quad (9)$$

Предполагается, что концентрация электронов проводимости в наночастице такая же, что и в бес-

конечном металле. Суммирование выполняется по всем значениям  $n$  и  $l$ , для которых

$$\epsilon_{nl} = \frac{\hbar^2}{2m_e r_0^2} \chi_{nl}^2 \leq \epsilon_F. \quad (10)$$

### ДИЭЛЕКТРИЧЕСКИЙ ТЕНЗОР

Связь между компонентами индукции  $D_\mu$  и напряженности  $E_\nu$  электрического поля для анизотропных систем имеет вид

$$D_\mu = \sum_\nu \epsilon_{\mu\nu}(\mathbf{q}, \omega) E_\nu, \quad (11)$$

где  $\epsilon_{\mu\nu}$  – диэлектрический тензор.

Используя выражение

$$\epsilon_{\mu\nu} = \delta_{\mu\nu} + i \frac{4\pi}{\omega} \sigma_{\mu\nu}, \quad (12)$$

а также результаты [23], диэлектрический тензор можно представить как

$$\epsilon_{\mu\nu} = \delta_{\mu\nu} - \frac{4\pi e^2}{m_e^2 \omega^2 \Omega} \sum_{i,j} \frac{f_i - f_j}{\epsilon_{ij} - \hbar\omega} \left\{ \langle j | e^{-i\mathbf{q}\cdot\mathbf{r}} \hat{p}_\mu | i \rangle - \frac{1}{2} \hbar q_\mu \langle j | e^{-i\mathbf{q}\cdot\mathbf{r}} | i \rangle \right\} \left\{ \langle i | e^{i\mathbf{q}\cdot\mathbf{r}} \hat{p}_\nu | j \rangle + \frac{1}{2} \hbar q_\nu \langle j | e^{i\mathbf{q}\cdot\mathbf{r}} | i \rangle \right\}. \quad (13)$$

Здесь  $i = \sqrt{-1}$ ;  $m_e$  – масса электрона;  $f_i = [\exp((\epsilon_i - \epsilon_F)/k_B T) + 1]^{-1}$  – коэффициент заполнения состояния с энергией  $\epsilon_i$ ;  $|i\rangle \equiv |n, l, m\rangle$ ,  $\langle j| \equiv \langle n', l', m'|$  – векторы начального и конечного состояния;  $\epsilon_{ij} = \epsilon_i - \epsilon_j$ ;  $T$  – температура. В дальнейшем будем считать  $T = 0$ .

Считаем, что волновой вектор лежит в плоскости  $xz$ , т.е.  $q_y = 0$ . Направив ось  $z$  вдоль направления распространения волны, получим  $q_x = 0$ ,  $\mathbf{q} \cdot \mathbf{r} = q_z z \approx r_0/\lambda \ll 1$  и

$$e^{\pm i\mathbf{q}\cdot\mathbf{r}} \approx 1 \pm i q_z z.$$

В нулевом приближении по малому параметру  $r_0/\lambda$  выражение для диэлектрической функции принимает вид:

$$\epsilon_{\mu\nu} = \delta_{\mu\nu} - \frac{4\pi e^2}{m_e^2 \omega^2 \Omega} \sum_{i,j} \frac{f_i - f_j}{\epsilon_{ij} - \hbar\omega} \langle j | \hat{p}_\mu | i \rangle \langle i | \hat{p}_\nu | j \rangle. \quad (14)$$

Преобразовывая (14) путем почленного деления на  $\epsilon_{ij} - \hbar\omega$  под знаком суммы и последующей перестановки индексов начального и конечного состояний во втором слагаемом, получаем

$$\epsilon_{\mu\nu} = \delta_{\mu\nu} - \frac{4\pi e^2}{m_e^2 \omega^2 \Omega} \times \sum_{i,j} f_i \left\{ \frac{\langle j | \hat{p}_\mu | i \rangle \langle i | \hat{p}_\nu | j \rangle}{\epsilon_{ij} - \hbar\omega} + \frac{\langle j | \hat{p}_\mu | i \rangle^* \langle i | \hat{p}_\nu | j \rangle^*}{\epsilon_{ij} + \hbar\omega} \right\}. \quad (15)$$

Матричные элементы различных проекций оператора импульса можно представить следующим образом

$$\langle j | \hat{p}_\mu | i \rangle = \begin{cases} -i\hbar\delta_{mm'} \{ \mathcal{G}_{(-)} \mathcal{L}_{(1)} \delta_{l-1,l'} - \mathcal{G}_{(+)} \mathcal{L}_{(2)} \delta_{l+1,l'} \}, & \mu = z; \\ -i \frac{\hbar}{2} \{ \mathcal{G}_{(-)} \mathcal{M}_{(-)} \delta_{l-1,l'} + \mathcal{G}_{(+)} \mathcal{N}_{(-)} \delta_{l+1,l'} \}, & \mu = x; \\ -i \frac{\hbar}{2} \{ \mathcal{G}_{(-)} \mathcal{M}_{(+)} \delta_{l-1,l'} + \mathcal{G}_{(+)} \mathcal{N}_{(+)} \delta_{l+1,l'} \}, & \mu = y, \end{cases} \quad (16)$$

где  $\mathcal{G}_{(\mp)} = k_{nl} C_{ml} C_{n',l'+1} \int_0^{r_0} j_{l \mp 1}(k_{n',l'+1} r) j_{l \mp 1}(k_{nl} r) r^2 dr$ ,

$$\begin{aligned} \mathcal{L}_{(1)} &= \sqrt{\frac{(l-m)(l+m)}{(2l-1)(2l+1)}}, \\ \mathcal{L}_{(2)} &= \sqrt{\frac{(l-m+1)(l+m+1)}{(2l+1)(2l+3)}}, \\ \mathcal{M}_{(\mp)} &= \mathcal{F}_{(-)}^{(1)} \delta_{m+1,m'} \mp \mathcal{F}_{(+)}^{(1)} \delta_{m-1,m'}, \\ \mathcal{N}_{(\mp)} &= \mathcal{F}_{(+)}^{(2)} \delta_{m+1,m'} \mp \mathcal{F}_{(-)}^{(2)} \delta_{m-1,m'}, \\ \mathcal{F}_{(\mp)}^{(1)} &= \sqrt{\frac{(l \mp m - 1)(l \mp m)}{(2l-1)(2l+1)}}, \\ \mathcal{F}_{(\mp)}^{(2)} &= \sqrt{\frac{(l \mp m + 1)(l \mp m + 2)}{(2l+1)(2l+3)}} \end{aligned}$$

и  $\delta_{\mu\nu}$  – символ Кронекера.

Правила отбора для проекции оператора импульса на ось  $z$  имеют вид:

$$\Delta m = m - m' = 0, \quad \Delta l = l - l' = \pm 1;$$

для проекции оператора импульса на оси  $x$  и  $y$

$$\Delta m = m - m' = \pm 1, \quad \Delta l = l - l' = \pm 1.$$

Вследствие специфического вида матричного элемента  $\langle j | \hat{p}_z | i \rangle$  сумма в выражении (14) обращается в нуль, если  $\mu = z$  или  $\nu = z$ . Поэтому

$$\epsilon_{xz} = \epsilon_{zx} = \epsilon_{yz} = \epsilon_{zy} = 0. \quad (17)$$

Диагональные компоненты диэлектрического тензора:

$$\epsilon_{\mu\mu} = 1 - \frac{8\pi e^2 \hbar^2}{m_e^2 \Omega} \sum_{i,j} \frac{f_i}{\epsilon_{ij} (\epsilon_{ij}^2 - \hbar^2 \omega^2)} |\langle j | \hat{p}_\mu | i \rangle|^2, \quad (18)$$

где индекс  $\mu = x, y, z$ . Поглощение учитывается посредством замены  $\omega \rightarrow \omega + i/\tau$  в выражении для диэлектрической функции (18), где  $\tau$  – время релаксации. Это приводит к локальному несохранению числа электронов. Во избежание этого используют комплексную диэлектрическую функ-

цию  $\bar{\epsilon}(\omega, \tau)$  [2], действительная и мнимая части которой определяются как:

$$\text{Re } \bar{\epsilon}(\omega, \tau) = \text{Re } \epsilon(\omega + i/\tau) - \frac{1}{\omega\tau} \text{Im } \epsilon(\omega + i/\tau), \quad (19)$$

$$\begin{aligned} \text{Im } \bar{\epsilon}(\omega, \tau) &= \text{Im } \epsilon(\omega + i/\tau) + \\ &+ \frac{1}{\omega\tau} [\text{Re } \epsilon(\omega + i/\tau) - 1]. \end{aligned} \quad (20)$$

В результате подстановки (18) в (19) и (20) получаем:

$$\text{Re } \bar{\epsilon}_{\mu\mu}(k_\omega, k_\tau) = 1 - \frac{4k_p^4}{\hbar^2 N} \Phi_{(-)}, \quad (21)$$

$$\text{Im } \bar{\epsilon}_{\mu\mu}(k_\omega, k_\tau) = -\frac{4k_p^4 k_\tau^2}{\hbar^2 N k_\omega^2} \Phi_{(+)},$$

$$\begin{aligned} \Phi_{(\mp)} &= \sum_{n,l,m,n'} \frac{f_{nlm} |\langle j | \hat{p}_\mu | i \rangle|^2}{k_{nl}^2 - k_{n'l'}^2} \times \\ &\times \frac{(k_{nl}^2 - k_{n'l'}^2)^2 \mp k_\omega^4 \mp k_\tau^4}{\left[ (k_{nl}^2 - k_{n'l'}^2)^2 - k_\omega^4 + k_\tau^4 \right]^2 + 4k_\omega^4 k_\tau^4}, \end{aligned} \quad (22)$$

где  $k_p^2 = 2m_e \omega_p / \hbar$ ,  $k_\omega^2 = 2m_e \omega / \hbar$ ,  $k_\tau^2 = 2m_e / \hbar \tau$ ,  $\omega_p^2 = 4\pi e^2 \bar{n} / m_e$  и в качестве аппроксимации коэффициента заполнения использована ступенчатая функция  $f_{nlm} = \Theta(\epsilon_F - \epsilon_{nlm})$ .

Несложно заметить, что при фиксированном направлении поляризации суммирование в (22) по всем  $m$  (и  $m'$ ) не зависит от направления. Согласно этому:

$$\begin{aligned} \sum_m |z_{nlm}^{n',l-1,m}|^2 &= \mathcal{G}_{(-)}^2 \sum_{m=-l}^l \frac{(l-m)(l+m)}{(2l-1)(2l+1)} = \frac{l}{3} \mathcal{G}_{(-)}^2; \\ \sum_m |z_{nlm}^{n',l+1,m}|^2 &= \mathcal{G}_{(+)}^2 \sum_{m=-l}^l \frac{(l-m+1)(l+m+1)}{(2l+1)(2l+3)} = \\ &= \frac{l+1}{3} \mathcal{G}_{(+)}^2; \quad \sum_m |x_{nlm}^{n',l-1,m+1}|^2 + |x_{nlm}^{n',l-1,m-1}|^2 = \mathcal{G}_{(-)}^2 \times \\ &\times \sum_{m=-l}^l \frac{1}{2} \left( \frac{(l-m-1)(l-m)}{(2l-1)(2l+1)} + \frac{(l+m-1)(l+m)}{(2l-1)(2l+1)} \right) = \\ &= \frac{l}{3} \mathcal{G}_{(-)}^2; \quad \sum_m |x_{nlm}^{n',l+1,m+1}|^2 + |x_{nlm}^{n',l+1,m-1}|^2 = \mathcal{G}_{(+)}^2 \times \\ &\times \sum_{m=-l}^l \frac{1}{2} \left( \frac{(l+m+1)(l+m+2)}{(2l+1)(2l+3)} + \right. \\ &\left. + \frac{(l-m+1)(l-m+2)}{(2l+1)(2l-3)} \right) = \frac{l+1}{3} \mathcal{G}_{(+)}^2. \end{aligned}$$

Тогда квадрат матричного элемента проекции оператора импульса (16) также не зависит от направления и имеет вид:

$$|\langle j | \hat{p}_\mu | i \rangle|^2 = \frac{\hbar^2}{3} \{ l^2 \mathcal{G}_{(-)}^2 \delta_{l-1,l'} + (l+1)^2 \mathcal{G}_{(+)}^2 \delta_{l+1,l'} \}. \quad (23)$$

Выражение для недиагональных компонент  $\epsilon_{xy}$  и  $\epsilon_{yx}$  следует из (15):

$$\epsilon_{\mu\nu} = \delta_{\mu\nu} - \frac{4\pi e^2}{m_e^2 \omega^2 \Omega} \times \sum_{i,j} f_i \left\{ \frac{\langle j | \hat{p}_x | i \rangle \langle i | \hat{p}_y | j \rangle}{\epsilon_{ij} \mp \hbar\omega} + \frac{\langle j | \hat{p}_x | i \rangle^* \langle i | \hat{p}_y | j \rangle^*}{\epsilon_{ij} \pm \hbar\omega} \right\}. \quad (24)$$

Верхний знак соответствует  $\mu = x, \nu = y$ , нижний знак  $-\mu = y, \nu = x$ .

Анализ (24) показывает, что для каждого орбитального числа  $l$  происходит суммирование как по положительным, так и по отрицательным значениям  $m$  (и  $m'$ ). Вследствие этого произведение матричных элементов обращается в нуль и

$$\epsilon_{xy} = \epsilon_{yx} = 0. \quad (25)$$

Таким образом, все недиагональные компоненты диэлектрического тензора в нулевом порядке разложения по параметру  $r_0/\lambda$  равны нулю, а сам диэлектрический тензор вырождается в скаляр.

В дальнейшем для расчета диагональной компоненты диэлектрического тензора используются формулы (21), (22) с учетом выражения (23) для квадрата матричного элемента проекции оператора импульса.

### РЕЗУЛЬТАТЫ РАСЧЕТОВ И ОБСУЖДЕНИЕ

Вычисления проведены для наночастиц Ag, Cu и Al со значениями электронных концентраций  $\bar{n} = (4\pi r_s^3/3)^{-1}$ , где  $r_s$  – среднее расстояние между электронами. Значения  $r_s$  и  $\tau$  для различных металлов приведены в табл. 1.

На рис. 1 представлены частотные зависимости  $\text{Re} \bar{\epsilon}_{\mu\mu}$  и  $\text{Im} \bar{\epsilon}_{\mu\mu}$  для наночастиц Cu различных радиусов. Пики соответствуют переходам между уровнями размерного квантования. В наночастицах с малым радиусом число подзон, заполненных электронами полностью или частично, невелико. Как следствие, количество пиков также невелико. С увеличением радиуса все пики смещаются в область меньших частот, расстояния между ними уменьшаются, и пики начинают сливаться друг с другом. Это обусловлено тем, что с увеличением радиуса влияние квантовых эффектов нивелируется, а размерные осцилляции исчезают.

Определим для наночастицы Cu положение пика  $\text{Im} \bar{\epsilon}_{\mu\mu}$  имеющего наибольшую высоту. Вы-

Таблица 1. Параметры металлов [25]

Металл	$r_s/a_0$	$\tau, 10^{-14} \text{ с}$	$\hbar/\tau, \text{ эВ}$
Ag	3.02	4.0	0.016
Cu	2.67	2.7	0.024
Al	2.07	0.8	0.082

сота пиков пропорциональна квадрату матричного элемента оператора  $\hat{p}_\mu$ , а сам матричный элемент имеет максимальную величину при  $n' = n$ , так как соответствующий интеграл в (22) при этом условии принимает максимальное значение. Таким образом, максимальное значение  $\text{Im} \bar{\epsilon}_{\mu\mu}$  достигается при  $l = 0$  и  $n' = n = n_F$ . Считая  $k_F \approx k_{F_0} = (3\pi^2 \bar{n})^{1/3}$ , получаем, что для  $r_0 = 1 \text{ нм}$  число  $n_F \approx k_{F_0} r_0 / \pi = 4$ . В результате имеем

$$\hbar\omega_{\text{max}} = \frac{\hbar^2 (k_{4,1}^2 - k_{4,0}^2)}{2m_e} = \frac{\hbar^2 (\chi_{4,1}^2 - \chi_{4,0}^2)}{2m_e r_0^2} = 1.49 \text{ эВ}.$$

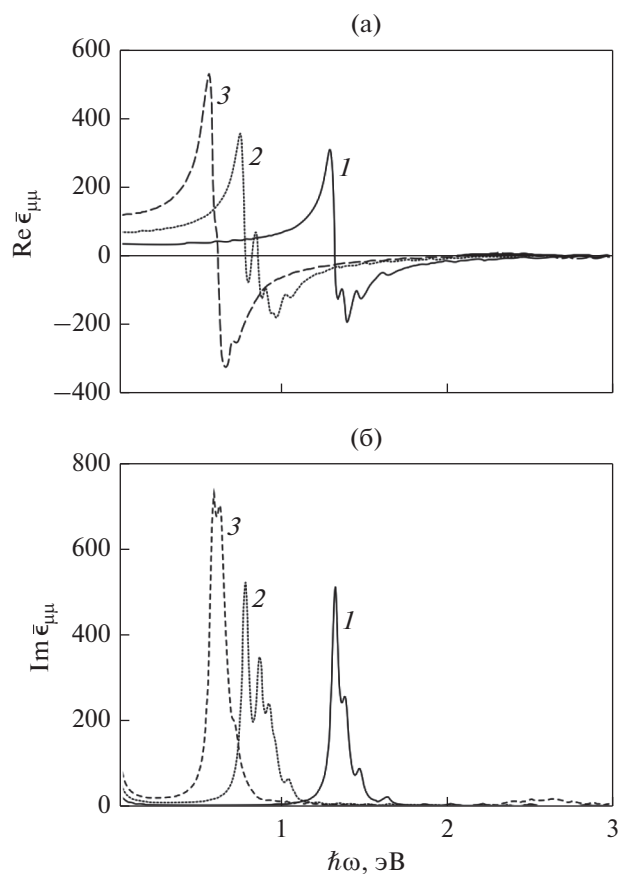
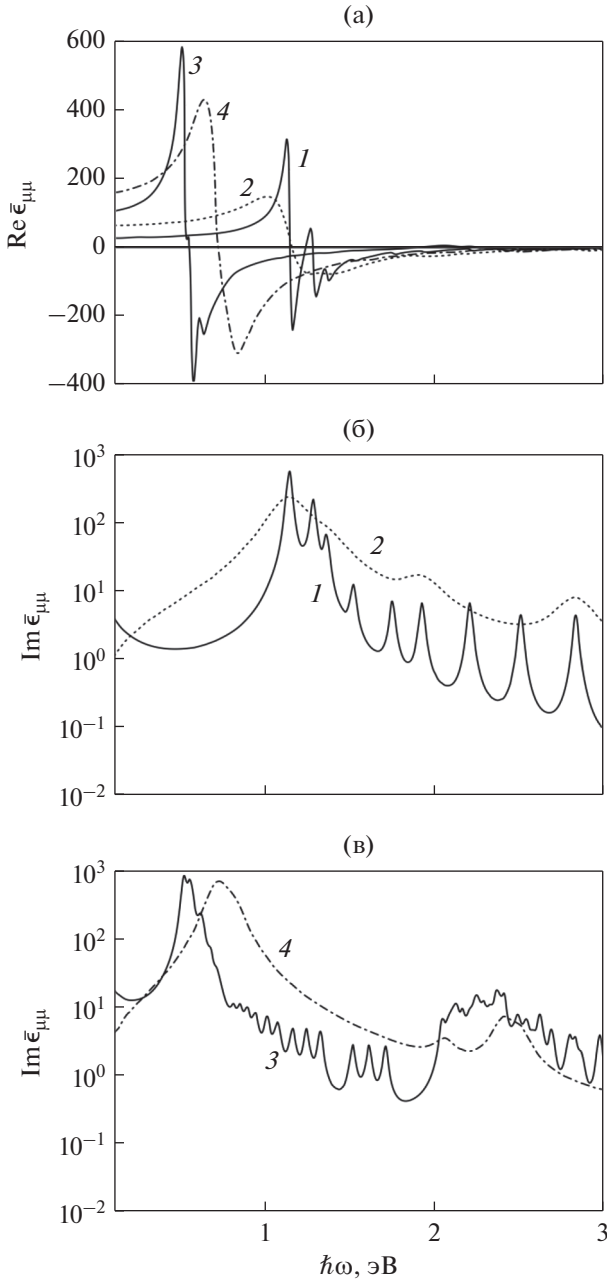


Рис. 1. Частотные зависимости действительной (а) и мнимой (б) частей диагональной компоненты  $\epsilon_{\mu\mu}$  диэлектрического тензора наночастицы Cu с различными значениями радиуса: 1 –  $r_0 = 1 \text{ нм}$ ; 2 –  $r_0 = 1.5 \text{ нм}$ ; 3 –  $r_0 = 2 \text{ нм}$ .



**Рис. 2.** Частотные зависимости действительной (а) и мнимой (б, в) частей диагональной компоненты  $\epsilon_{\mu\nu}$  наночастицы Ag рассчитанные по формулам (21), (22) (сплошные линии); пунктирные линии – результаты, взятые из работы [9]. Кривые 1, 2 соответствуют  $r_0 = 1$  нм; 3, 4 –  $r_0 = 2$  нм.

Ошибка примерно в 10% связана с предположением о равномерности распределения уровней.

Оценим теперь величину  $\text{Im } \bar{\epsilon}_{\mu\nu}$  при  $\hbar\omega_{\max} = 1.49$  эВ. Принимая во внимание, что

$$|\langle j | \hat{p}_\mu | i \rangle|^2 \cong \frac{\hbar^2 k_{F_0}^2}{3} (2l + 1), \quad (26)$$

используя выражения (21), (22) с учетом того, что  $k_{nl}^2 - k_{n'l'}^2 \cong k_\omega^2$ ,  $k_\tau \ll k_\omega$ , получаем

$$\text{Im } \bar{\epsilon}_{\mu\nu} \cong \frac{2k_p^4}{\hbar^2 N k_\omega^4 k_\tau^2} \sum_{i,j} f_i |\langle j | \hat{p}_\mu | i \rangle|^2. \quad (27)$$

Подставим (26) в (27):

$$\text{Im } \bar{\epsilon}_{\mu\nu} \cong \frac{8m_e e^2}{\hbar^2 r_0^3} \frac{k_{F_0}^2}{k_\omega^4 k_\tau^2} \sum_l (2l + 1) \approx 450.$$

Указанная величина хорошо согласуется с данными вычислений, приведенными на рис. 1 (первый максимум на кривой 1).

Рисунок 1 демонстрирует важный факт неотрицательности  $\text{Im } \bar{\epsilon}_{\mu\nu}$  во всем исследуемом частотном диапазоне, в то время как  $\text{Re } \bar{\epsilon}_{\mu\nu}$  является знакопеременной функцией частоты.

На рис. 2 приведено сравнение результатов расчетов  $\text{Re } \bar{\epsilon}_{\mu\nu}$  и  $\text{Im } \bar{\epsilon}_{\mu\nu}$  с результатами работы [9], в которой использован подход, предложенный в [21].

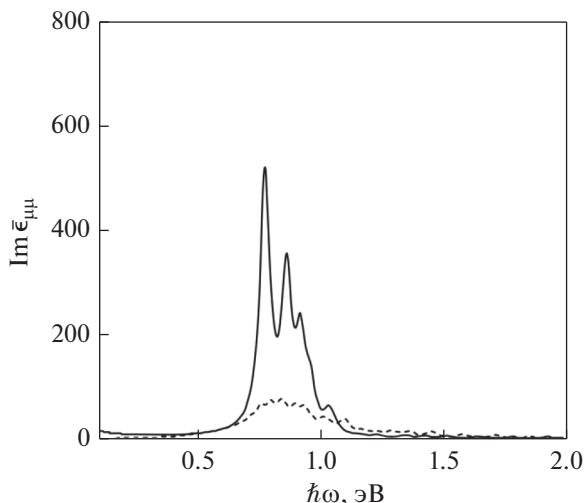
Следует отметить, что полученные результаты качественно подобны, с тем отличием, что количество экстремумов, рассчитанных по формулам (21), (22), больше, чем в работе [9]. Это связано с тем, что в работе [9] используется вместо  $\tau = \tau_{\text{bulk}}$  эффективное время релаксации  $\tau_{\text{eff}}^{-1} = \tau_{\text{bulk}}^{-1} + \tau_s^{-1}$ , где величина  $\tau_s^{-1} = \mathcal{A}v_F/r_0$  определяется эффектами поверхностного рассеяния. Однако поверхностное рассеяние учтено при решении квантово-механической задачи о движении электрона в сферически симметричной потенциальной яме. Как показали авторы работы [2], уже само наложение граничных условий на волновые функции электрона приводит к классическому выражению  $\mathcal{A}v_F/r_0$ . Поэтому введение поверхностного рассеяния, определяющего собственные состояния частицы, является нецелесообразным.

Положение пика для наночастицы Ag может быть найдено таким же способом, как ранее было определено для наночастицы Cu, с тем отличием, что теперь  $n_F = 3$ . Тогда при  $r_0 = 1$  нм

$$\hbar\omega_{\max} = \frac{\hbar^2 (\chi_{3,1}^2 - \chi_{3,0}^2)}{2m_e r_0^2} = 1.15 \text{ эВ},$$

что с хорошей точностью соответствует результатам расчетов, приведенным на рис. 2б.

Сравним результаты расчетов диэлектрической функции металлических наночастиц с аналогичными результатами для тонких металлических нитей [23]. Для нити радиусом  $\rho_0$  при  $\alpha = x, y$  квадрат



**Рис. 3.** Частотные зависимости мнимой части диагональной компоненты  $\epsilon_{\mu\mu}$  наночастицы (сплошная линия) и нанонити (пунктирная линия) Cu радиусом  $r_0 = \rho_0 = 1.5$  нм.

матричного элемента проекции оператора импульса имеет вид

$$\langle j | \hat{p}_\alpha | i \rangle^2 = \frac{\hbar^2}{4} \delta_{pp'} \{ \mathcal{F}_{(-)}^2 \delta_{m-1, m'} + \mathcal{F}_{(+)}^2 \delta_{m+1, m'} \},$$

$$\mathcal{F}_{(\mp)} = k_{mn} C_{mn} C_{m\mp 1, n'} \int_0^{\rho_0} I_{m\mp 1}(k_{m\mp 1, n} \rho) I_{m\mp 1}(k_{mn} \rho) \rho d\rho,$$

где  $C_{mn} = \frac{\sqrt{2}}{\rho_0 |I'_m(k_{mn} \rho_0)|}$ ,  $k_{mn} = a_{mn} / \rho_0$ ,  $a_{mn}$  – поло-

жительные нули цилиндрической функции Бесселя  $m$ -го порядка  $I_m(\xi)$ ,  $n = 1, 2, \dots$

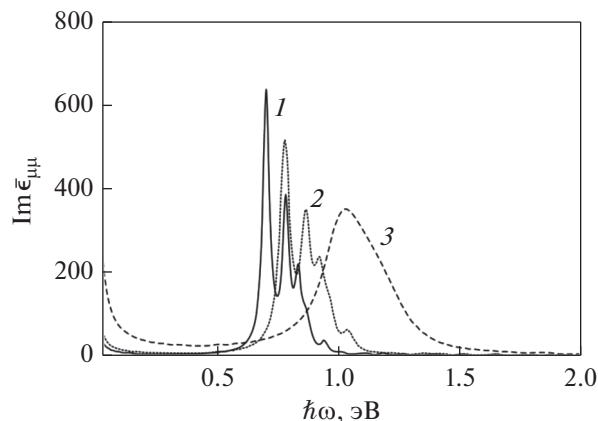
На рис. 3 представлены результаты расчета частотных зависимостей  $\text{Im } \bar{\epsilon}_{\mu\mu}$  для наночастицы и нити Cu. Отличия в положении и величине пиков объясняется разными энергетическими спектрами 0D и 1D-систем. После пересчета в 0D-системе остается суммирование по квантовым числам  $n$  и  $l$ , а в случае 1D-системы это  $n$  и  $m$ . Считая, что

$$\sum_p 1 \cong \frac{2L}{\pi} k_{F_0} \text{ и } |\langle m' n' | \hat{p}_\alpha | mn \rangle|^2 \cong \frac{1}{4} \hbar^2 k_{F_0}^2, \text{ получим}$$

$$\frac{\text{Im } \bar{\epsilon}_{\mu\mu}^{\text{sphere}}}{\text{Im } \bar{\epsilon}_{\alpha\alpha}^{\text{wire}}} \cong \frac{\Omega_{0D}^{-1} \sum_{i,j} |\langle n' l' | \hat{p}_\mu | nl \rangle|^2}{\Omega_{1D}^{-1} \sum_{i,j} |\langle m' n' | \hat{p}_\alpha | mn \rangle|^2 \sum_p 1} = \frac{\pi \sum_l (2l+1)}{2r_0 k_{F_0}}.$$

Для Cu при  $r_0 = \rho_0 = 1.5$  нм и  $k_{F_0} \cong 1.36 \times 10^{10} \text{ м}^{-1}$  ( $n_F = 6$ ;  $l = 0 \dots n_F - 1$ ) имеем

$$\text{Im } \bar{\epsilon}_{\mu\mu}^{\text{sphere}} / \text{Im } \bar{\epsilon}_{\alpha\alpha}^{\text{wire}} \cong 2.8,$$



**Рис. 4.** Зависимость мнимой части диагональной компоненты  $\epsilon_{\mu\mu}$  диэлектрического тензора для наночастиц различных металлов: 1 – Ag; 2 – Cu; 3 – Al.

что с достаточной точностью соответствует результатам расчетов.

Частотные зависимости мнимой части диэлектрической функции для различных металлов при фиксированном значении радиуса частицы ( $r_0 = 1.5$  нм) приведены на рис. 4. Полученные результаты имеют качественно и количественно разный характер для частиц Ag, Cu и Al. Так, в случае наночастиц Ag и Cu, в отличие от Al, имеют место сильные осцилляции  $\text{Im } \bar{\epsilon}_{\mu\mu}$  практически во всем рассматриваемом частотном диапазоне. Такой характер зависимости объясняется отличиями во времени релаксации электронов различных металлов. Для Al время релаксации наименьшее, поэтому и ширина пиков – наибольшая.

### ЗАКЛЮЧЕНИЕ

Введен диэлектрический тензор для сферических металлических наночастиц и вычислены его диагональные компоненты с использованием разложения по степеням  $r_0/\lambda$ . Проанализирована эволюция частотных зависимостей действительной и мнимой частей диэлектрической функции при вариации радиуса. Показано, что действительные части являются знакопеременными функциями частоты, в то время как мнимые части неотрицательны во всем исследуемом диапазоне частот. Установлено, что с увеличением радиуса наночастицы максимумы действительной и мнимой частей компонент диэлектрического тензора смещаются в область меньших частот, а сами максимумы сливаются друг с другом, что связано с увеличением количества уровней размерного квантования, а следовательно, и числа возможных переходов между ними.

Расчеты компонент диэлектрического тензора выполнены для частиц Ag, Cu и Al. Отличия в характере частотных зависимостей наночастиц различных металлов обусловлены отличиями в значениях времени релаксации электронов проводимости.

#### СПИСОК ЛИТЕРАТУРЫ

1. *Ruppin R., Yatom H.* Size and shape effects on the broadening of the plasma resonance absorption in metals // *Phys. Stat. Sol. B.* 1976. V. 74. P. 647–654.
2. *Wood D.M., Ashcroft N.W.* Quantum size effects in the optical properties of small metallic particles // *Phys. Rev. B.* 1982. V. 25. P. 6255–6274.
3. *Kreibig U., Genzel L.* Optical absorption of small metallic particles // *Surf. Sci.* 1985. V. 156. P. 678–700.
4. *Klar T., Perner M., Grosse S., von Plessen G., Spirkl W., Feldmann J.* Surface-plasmon resonances in single metallic nanoparticles // *Phys. Rev. Lett.* 1988. V. 80. P. 4249–4252.
5. *Томчук П.М., Томчук Б.П.* Оптическое поглощение малых металлических частиц // *ЖЭТФ.* 1997. Т. 112. №2. С. 661–678.
6. *Serota R.A., Goodman B.* Quantum absorption in small metal particles // *Mod. Phys. Lett. B.* 1999. V. 13. P. 969–976.
7. *Ivanyuk F.A.* Dielectric function of metal clusters: Finite-size effects and the macroscopic limit // *Phys. Rev. B.* 2008. V. 77. id. 155425.
8. *Govyadinov A.A., Panasyuk G.Y., Schotland J.C., Markel V.A.* Theoretical and numerical investigation of the size dependent optical effects in metal nanoparticles // *Phys. Rev. B.* 2011. V. 84. id.155461.
9. *Zapata-Herrera M., Camacho A.S., Ramírez H.Y.* Influence of the confinement potential on the size-dependent optical response of metallic nanometric particles // *Comput. Phys. Comm.* 2018. V. 227. P. 1–8.
10. *Shalaev V.M.* Optical negative-index metamaterials // *Nat. Photonics.* 2007. V. 1. P. 41–48.
11. *MacDonald K.F., Sámsón Z.L., Stockman M.I., Zheludev N.I.* Ultrafast active plasmonics // *Nat. Photonics.* 2009. V. 3. P. 55–58.
12. *Nielsen R.B., Thoreson M.D., Chen W., Kristensen A., Hvam J.M., Shalaev V.M., Boltasseva A.* Toward superlensing with metal–dielectric composites and multilayer // *Appl. Phys. B.* 2010. V. 100. P. 93–100.
13. *Huang X., Jain P.K., El-Sayed I.H., El-Sayed M.A.* Gold nanoparticles: interesting optical properties and recent applications in cancer diagnostics and therapy // *Nanomedicine.* 2007. V. 2. P. 681–693.
14. *Freeman R.G., Grabar K.C., Allison K.J., Bright R.M., Davis J.A., Guthrie A.P., Hommer M.B., Jackson M.A., Smith P.C., Walter D.G., Natan M.J.* Self-assembled metal colloid monolayers: an approach to SERS substrates // *Science.* 1995. V. 267. P. 1629–1632.
15. *Andres R.P., Bielefeld J.D., Henderson J.I., Janes D.B., Kolagunta V.R., Kubiak C.P., Mahoney W.J., Osifchin R.G.* Self-assembly of a two-dimensional superlattice of molecularly linked metal clusters // *Science.* 1996. V. 273. P. 1690–1693.
16. *Балыкин В.И., Мелентьев П.Н.* Оптика и спектроскопия единичной плазмонной наноструктуры // *УФН.* 2018. Т. 188. №2. С. 143–168.
17. *Коротун А.В., Коваль А.А.* Диэлектрический тензор металлической нанопроволочки с эллиптическим сечением // *ФММ.* 2019. Т. 120. №7. С. 675–680.
18. *Kawabata A., Kubo R.* Electronic properties of fine metallic particles. II. Plasma resonance absorption // *J. Phys. Soc. Japan.* 1966. V. 21. P. 1765–1772.
19. *Huang W.C., Lue J.T.* Quantum size effect on the optical properties of small metallic particles // *Phys. Rev. B.* 1994. V. 49. P. 17279–17285.
20. *Sander L.* Quantum theory of perpendicular electrical conductivity in a thin metallic film // *J. Phys. Chem. Solids.* 1968. V. 29. P. 291–294.
21. *Cini M., Ascarelli P.* Quantum size effects in metal particles and thin films by an extended RPA // *J. Phys. F.* 1974. V. 4. P. 1998–2008.
22. *Blackman G.N., Genov D.A.* Bounds on quantum confinement effects in metal nanoparticles // *Phys. Rev. B.* 2018. V. 97. id. 115440.
23. *Kurbatsky V.P., Pogosov V.V.* Optical conductivity of metal nanofilms and nanowires: The rectangular-box model // *Phys. Rev. B.* 2010. V. 81. id. 155404.
24. *Korotun A.V.* Size dependence of the Fermi energy of spherical metal nanocluster // *J. Nano- Electron. Phys.* 2015. V. 7. № 3. id. 03028.
25. *Ашкрофт Н., Мермин Н.* Физика твердого тела. М.: Мир, 1979. Т. 1. 400 с.